

ROTINA SIMPLIFICADA PARA DETERMINAÇÃO DE CURVA-CHAVE

Cláudio Marinho da Silva Filho*

RESUMO--O presente trabalho apresenta uma rotina computacional desenvolvida para o sistema HP-41CV visando a determinação da curva-chave de uma seção transversal de um manancial de superfície a partir de dados levantados em estações fluviométricas, segundo critérios desenvolvidos na Companhia de Saneamento de Minas Gerais - COPASA MG.

Os resultados obtidos levam, no Estado de Minas Gerais, a altos coeficientes de determinação e pequenos erros entre as vazões medidas e as vazões calculadas pelo método.

ABSTRACT--This paper presents a computational routine for the HP-41CV system for the determination of the rating curve of a transversal section of a river, with the data measured in hydrometric stations. The criteria here used were developed in Companhia de Saneamento de Minas Gerais - COPASA MG. The results obtained with the application of this routine in the State of Minas Gerais have a high coefficient of determination and the errors between measured flows and computed flows are small.

INTRODUÇÃO

O estágio inicial para o desenvolvimento de estudos hidrológicos a partir de dados fluviométricos, envolve a construção de uma curva/equação representativa do manancial a estudar a partir do histórico de medições de descarga líquida, visando recuperar do histórico de cotas médias diárias as descargas médias diárias.

O presente trabalho apresenta uma rotina interativa de determinação da "curva-chave", a partir de experiências vividas na COPASA MG, tomando como curva típica uma relação potencial que leva, no Estado de Minas Gerais, a altos coeficientes de correlação e boa aderência gráfica, implicando em baixos erros percentuais com relação aos valores de vazões medidas e calculadas.

CURVA-CHAVE - PRINCIPIOS TEÓRICOS

A curva-chave é uma representação gráfica e/ou algébrica com algumas simplificações das relações existentes entre as caracte-

* Engº Civil - Divisão de Hidrologia - COPASA MG - R.Sergipe, 580
5º andar - Tel(031)212-3511/ramal 425. Belo Horizonte - MG.

rísticas físicas e hidráulicas do trecho do canal que contém o posto fluviométrico e as vazões do manancial naquele ponto. A relação entre as medições de descarga líquida e de cotas fluviométricas observadas simultaneamente às medições, implica na obtenção de uma função $Q=f(h)$, onde Q é a descarga correspondente a uma determinada cota h , de acordo com as características hidráulicas do canal considerado.

As características hidráulicas do trecho de canal envolvem a rugosidade, declividade longitudinal, área e geometria da seção transversal, etc, definindo o controle do posto fluviométrico. As diversas características citadas definem o comportamento hidráulico do trecho de canal e consequentemente o comportamento da curva-chave respectiva.

Quando o controle é caracterizado pela ação de uma seção imediatamente a jusante, o regime é dito de controle de seção. Neste regime estão incluídas as corredeiras, as quedas d'água e em particular os vertedores especialmente instalados, podendo ocasionar um regime crítico de escoamento na seção, implicando em uma curva-chave com representação algébrica com a forma da equação geral dos vertedores:

$$Q = C b h^n \quad (1)$$

onde:

Q = descarga líquida (m^3/s);

C = coeficiente de descarga;

b = largura da soleira do vertedouro ou da seção (m);

h = cota da régua (m);

n = expoente de h .

Ao analisarmos o comportamento de tais parâmetros nas estações fluviométricas, as características morfológicas do canal e o ponto de instalação da régua, dificilmente a cota $h=0$ corresponde a uma descarga nula, $Q=0$.

Em vista de tal problema buscamos a determinação de h_0 (cota teórica da descarga nula), gráfica, algebricamente ou através de pesquisa de campo.

Substituindo a cota h_0 na equação (1), teremos:

$$Q = C b (h - h_0)^n \quad (2)$$

Fazendo $A=C.b$ e substituindo em (2) fica:

$$Q = A (h - h_0)^n \quad (3)$$

Na maioria dos casos não há uma seção de controle definida, implicando na interferência de todas as características do canal que contém o posto fluviométrico na representação da curva-chave. A curva-chave então poderá ser obtida pela equação de Manning:

$$Q = S/n \cdot R_H^{2/3} \cdot i^{1/2} \quad (4)$$

onde:

Q = descarga líquida (m^3/s);

S = área da seção transversal (m^2);

n = coeficiente de rugosidade de Manning ($s/m^{1/3}$);

R_H = raio hidráulico (m);

i = declividade da linha d'água (m/m)

No caso de rios de seção muito larga em relação a profundidade média poderemos fazer as seguintes simplificações:

$$\begin{aligned} R_H &= h \\ S &= b \cdot h \end{aligned}$$

onde:

$$\begin{aligned} b &= \text{largura da seção transversal (m)}; \\ h &= \text{profundidade média (m)} \end{aligned}$$

Substituindo R_H e S na equação (4) teremos:

$$\begin{aligned} Q &= b \cdot h / n \cdot h^{2/3} \cdot i^{1/2} \therefore \\ Q &= (b/n \cdot i^{1/2}) \cdot h^{5/3} \end{aligned} \quad (5)$$

Fazendo $A = b/n \cdot i^{1/2}$ e substituindo em (5) fica:

$$Q = A \cdot h^{5/3} \quad (6)$$

No que diz respeito à equação (6) acima, ressalte-se que geralmente as seções transversais dos canais não obedecem as condições de contorno iniciais tidas como base para a sua dedução. O não cumprimento das condições de contorno iniciais condiciona os valores assumidos por A e consequentemente pelo expoente de h , com relação a cada posto fluviométrico estudado.

Em virtude de tal fato exposto poderemos reescrever a relação algébrica representada pela equação (6), buscando uma relação genérica, e embutindo a cota de descarga nula, teremos:

$$Q = A(h-h\emptyset)^n \quad (7)$$

Cabe ressaltar que apesar das equações (3) e (7) mesmo possuindo os parâmetros A e n definidos por maneiras distintas, apresentam uma só forma genérica para a representação da relação $Q=f(h)$.

Partindo da equação (7) e aplicando logaritmo em ambos os membros teremos:

$$\begin{aligned} \log(Q) &= \log[A(h-h\emptyset)^n] \therefore \\ \log(Q) &= \log(A) + n \cdot \log(h-h\emptyset) \end{aligned} \quad (8)$$

Fazendo algumas mudanças de variáveis,

$$\begin{aligned} b &= n; \\ Y &= \log(Q); \\ X &= \log(h-h\emptyset); \\ a &= \log(A) \end{aligned} \quad (8.1)$$

Substituindo as transformações de (8.1) em (8), teremos:

$$Y = a + bX \quad (9)$$

onde:

$$\begin{aligned} a &= \text{coeficiente linear da reta} \\ b &= \text{coeficiente angular} \end{aligned}$$

A partir de um conjunto de pares de pontos (h_i, Q_i) perten-

FIG-01 RELAÇÃO COTA - $h(m)$ X DESCARGA - $Q(m^3/s)$ EM PAPEL ARITMÉTICO

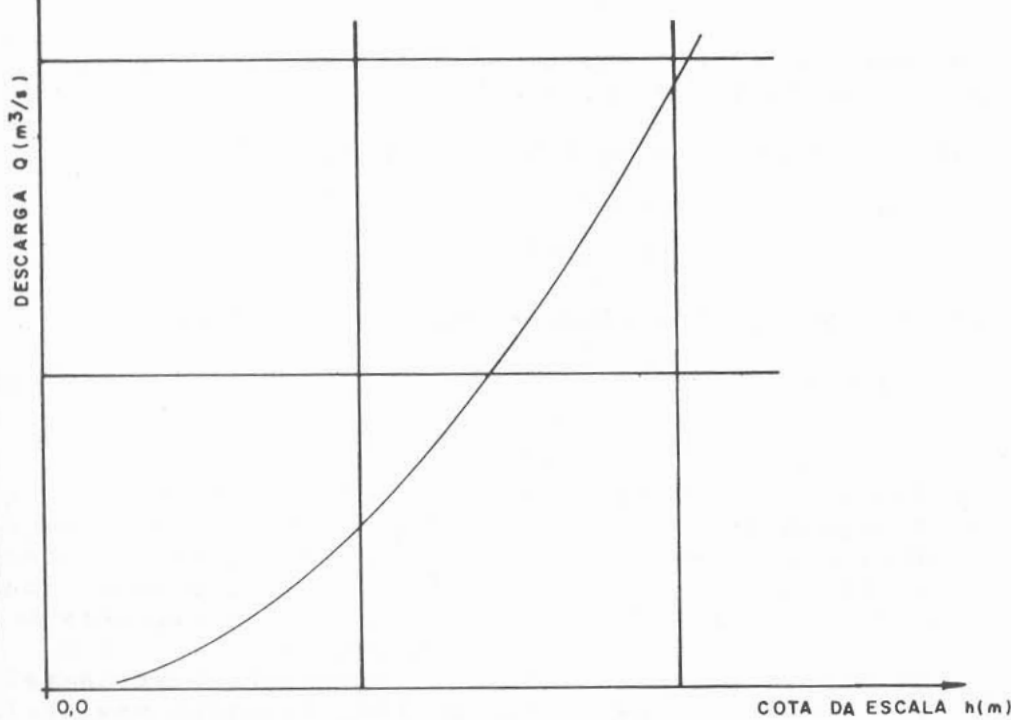
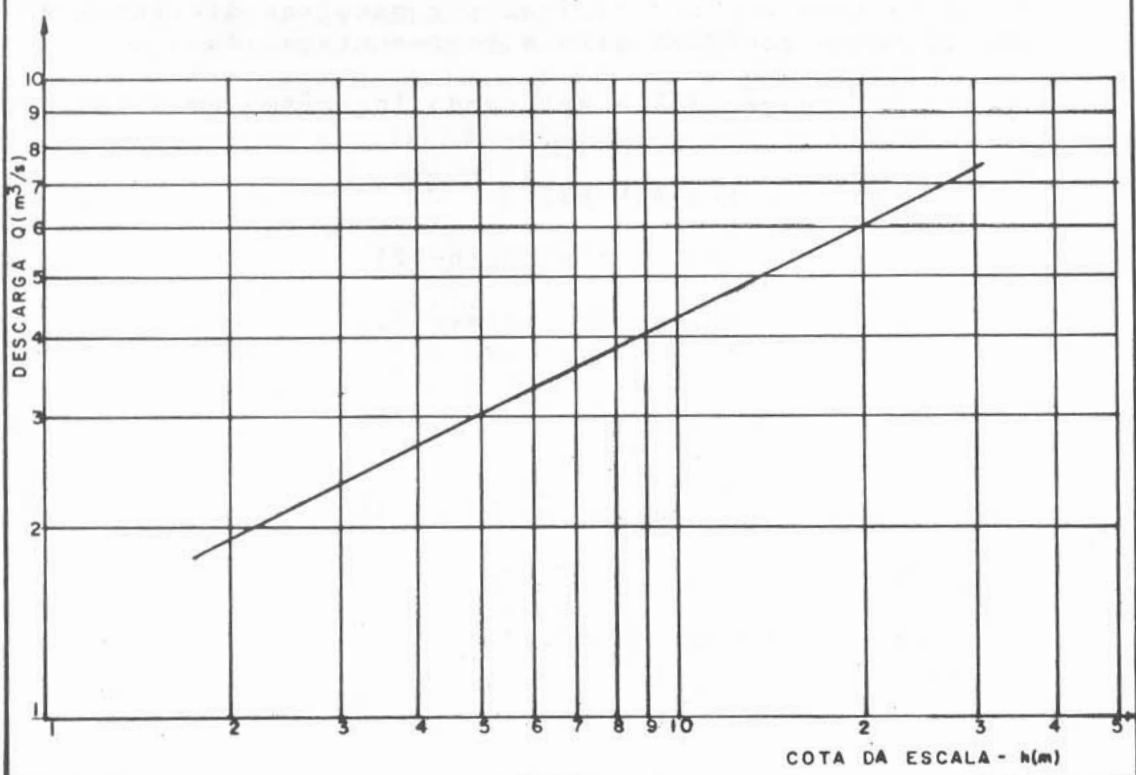


FIG 02 - RELAÇÃO COTA $h(m)$ X DESCARGA - $Q(m^3/s)$ EM PAPEL Log-Log



centes a um determinado período de observação T, poderemos analisar a tendência da curva, que terá um comportamento semelhante às curvas das fig.01 e 02, traçadas em papéis milimetrado e log-log respectivamente.

Ocorrendo uma e somente uma tendência bem definida, a equação (9) é obtida por análise de regressão. Deve-se salientar aqui, que as características físicas e hidráulicas da seção sofrem transformações com o passar do tempo, implicando em uma possível variação das relações cotas X descargas, cada uma delas com validade para determinados intervalos de tempo.

O sistema de equações abaixo nos levará à determinação dos parâmetros estimados \hat{a} e \hat{b} , que é a solução do sistema:

$$\begin{aligned} a\sum N + b \sum X_i &= \sum Y_i \\ a \sum X_i + b \sum X_i^2 &= \sum Y_i \cdot X_i \end{aligned} \quad (10)$$

A solução do sistema nos leva a um coeficiente de determinação R^2 definido por:

$$R^2 = \frac{a \sum Y_i + b \sum X_i Y_i - 1/N (\sum Y_i)^2}{\sum (Y_i)^2 - 1/N (\sum Y_i)^2} \quad (11)$$

onde:

N = número de pares (h_i , Q_i)

R^2 = coeficiente de determinação ($0 \leq R^2 \leq 1$)

Sendo \hat{a} e \hat{b} solução do sistema, e de acordo com as transformações em (8.1) teremos:

$$\begin{aligned} \hat{n} &= \hat{b} \\ \hat{A} &= 1/\hat{a} \end{aligned} \quad (12)$$

Substituindo os parâmetros \hat{n} e \hat{A} em (7) teremos:

$$Q = \hat{A}(h - h\emptyset)^{\hat{n}} \quad (13)$$

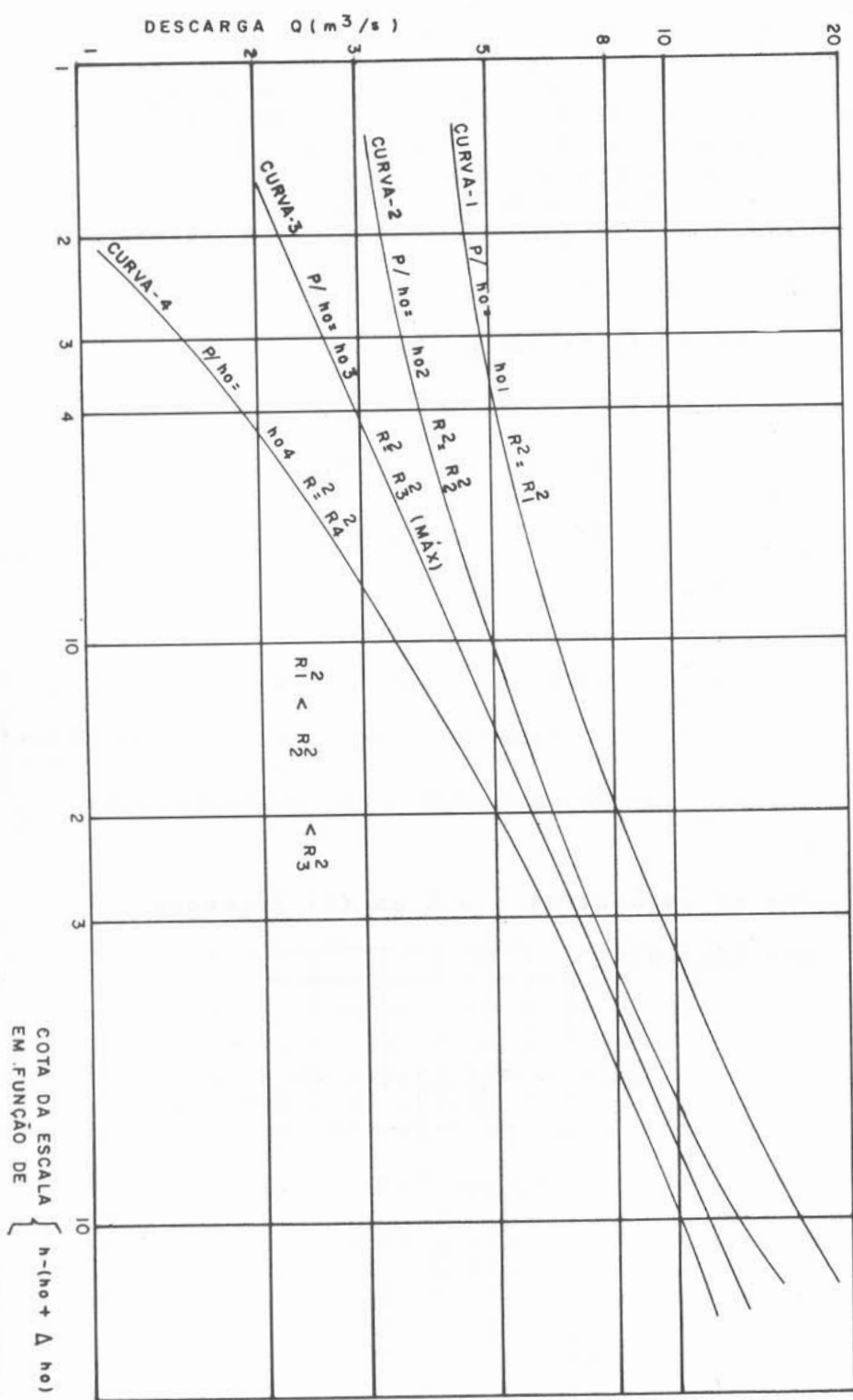
Partindo do pressuposto de que existe um e somente um $h\emptyset$ tal que R^2 pertencente ao intervalo $[0,1]$, seja máximo, e para o qual a equação (13) tende a se aproximar de uma reta, teremos:

$\exists h\emptyset^*$ tal que a equação (13) seja uma reta.

A pesquisa do valor de $h\emptyset^*$ que permite a determinação de R^2_{max} implica em sucessivas interações dos vários pontos de $(h_i - h\emptyset, Q_i)$ pertencentes à curva. A partir do momento em que o número de pontos N seja muito grande torna-se necessário o uso de uma rotina computacional para a resolução do sistema (13), em virtude também dos vários valores de $h\emptyset$ que deverão ser testados visado a determinação de R^2_{max} .

A fig. 03 mostra o comportamento da curva $Q=f(h-h\emptyset-\Delta h)$ em função dos incrementos Δh dados a partir de um valor inicial de $h\emptyset$. A curva-3 implica em um valor de $h\emptyset^* = h\emptyset + \Delta h = h_3$, onde R^2 assume um valor máximo. Consequentemente a equação (13), com parâmetros \hat{A}, \hat{n} e $h\emptyset=h\emptyset^*$ é a que apresenta melhor aderência gráfica com relação ao conjunto de pontos (h_i, Q_i) medidos.

FIG 03 - CURVA DE $Q = F(h - h_0 + \Delta h)$ EM FUNÇÃO DOS INCREMENTOS Δh , A PARTIR DE UM VALOR INICIAL h_0 , MOSTRANDO OS VALORES DE R_2



PROGRAMAS

Os fluxogramas em anexo mostram a simplicidade do sistema desenvolvido. Optamos pela criação de programas em calculadoras HP-41/CV, devido a facilidade de manuseio do equipamento, seu relativamente curto tempo de resposta, facilidade de adaptação do pessoal de nível médio ao sistema, bem como seu baixo custo de aquisição.

O conjunto de programas para a determinação da curva-chave se compõe de dois estágios básicos:

Programa Ø1 - PØ1 - Programa de Entrada e Correção de Dados - Fluxos I e II

Entrada dos pares (cota medida, vazão correspondente):

- permite a entrada dos dados a serem processados pelo programa Ø2 - PØ2, bem como as suas correções após o término da entrada de dados.
- a entrada e correção de dados é feita de acordo com as instruções contidas no manual do usuário.

Programa Ø2 - PØ2 - Programa de Determinação da Curva-Chave Fluxo II

- O programa aplica o método dos mínimos quadrados ao conjunto de pontos (h_i, Q_i), buscando como solução uma curva do tipo da equação (7)
- A instrução para a entrada de dados e algumas considerações são tecidas no manual do usuário.

Entradas do Sistema

Programa de Entrada de Dados

- 1) NMED = nº de pares (h_i, Q_i)
- 2) h_i, Q_i = entrada dos n pares.

Programa da Curva-Chave

- 1) $h_{\bar{i}}$ = limite inferior do intervalo de pesquisa
- 2) $h_{\bar{f}}$ = limite superior do intervalo de pesquisa
- 3) INC = incremento h para a interação subsequente.

OBS: Devemos ressaltar aqui que os valores inicial e final do intervalo a se pesquisar o $h_{\bar{\theta}}$ que possibilite o R^2_{max} , são obtidos, de acordo com a metodologia desenvolvida na COPASA MG, através da plotação aritmética dos pares (h_{med}, Q_{med} correspondente) e da extrapolação gráfica da curva no seu ramo inferior, até interceptar o eixo representativo das cotas.

O valor do incremento mínimo é tomado como 01 cm, limite de precisão das escalas linimétricas comumente adotadas.

Saídas do Sistema

- 1) \hat{A}, \hat{n} = parâmetros da regressão para R^2_{max} no intervalo de pesquisa;
- 2) $h_{\bar{\theta}}^*$ = cota de descarga nula para R^2_{max} no intervalo de pesquisa;
- 3) R^2_{max} = coeficiente de determinação correspondente ao va

lor $h\theta^*$;

- 4) Tabela de erros percentuais relativos a cada valor de
 $Q = f(h_i - h\theta^*)$

$$\text{erro}(\%) = \frac{Q_i - f(h_i - h\theta^*)}{Q(i)} \cdot 100$$

onde:

erro = erro percentual relativo para a medição i;
 Q_i = descarga líquida medida;
 $f(h_i - h\theta^*)$ = desc. líquida calculada pela curva com parâmetros \hat{A} , \hat{n} e $h\theta^*$.

- 5) E_{\max} = erro percentual máximo

Memória e Estado Interno

Programa de Entrada e Correção de Dados

1)	Registradores para dados: 26 + NMED
2)	Registradores/endereço e conteúdo
	endereço

016	controle dos registros para armazenamento
017	indireto para armazenar os pares (h_i, Q_i)
023	controle para incremento dos endereços dos registradores de dados
026	dados a processar (h_1, Q_1)
027	dados a processar (h_2, Q_2)
:	:
NNN	dados a processar (h_N, Q_N)

Programa da Curva-Chave

1)	Registradores estatísticos: 010 a 015
2)	Registradores/endereço e conteúdo
	endereço

000	índice
001	futuras expansões
002	futuras expansões
003	DET
004	auxiliar
005	n p/interação $h\theta - \Delta h$
006	A p/interação $h\theta - \Delta h$
007	usado
008	auxiliar / (potencial)
009	$(\sum Q_i)/N$
010	$\sum h_i$
011	$\sum h_i^2$
012	$\sum Q_i$
013	$\sum Q_i^2$

endereço	conteúdo
014	$\Sigma hi.Qi$
015	N
016	controle de incremento para endereço dos registros a processar
017	indireto p/processamento
018	R^2 p/interação $h\emptyset - h$
019	n p/interação $h\emptyset$
020	A p/interação $h\emptyset$
021	controle - $h\emptyset f < \emptyset$
022	controle de incremento para $h\emptyset$ inicial e final
023	controle de registro a processar
024	$h\emptyset$ a processar
025	R^2 p/interação $h\emptyset$
026	
NNN	(hi,Qi) a processar

3) Indicadores (Flags)

nº	ativado	desativado
--	-----	-----
00	$h\emptyset < \emptyset$	$h\emptyset \geq \emptyset$
01	lê reg.p/tabela	lê reg. p/processar
02	$h\emptyset f < \emptyset$	$h\emptyset f \geq \emptyset$
03	imprime "%"	não imprime "%"
04	R^2 crescente	R^2 máximo

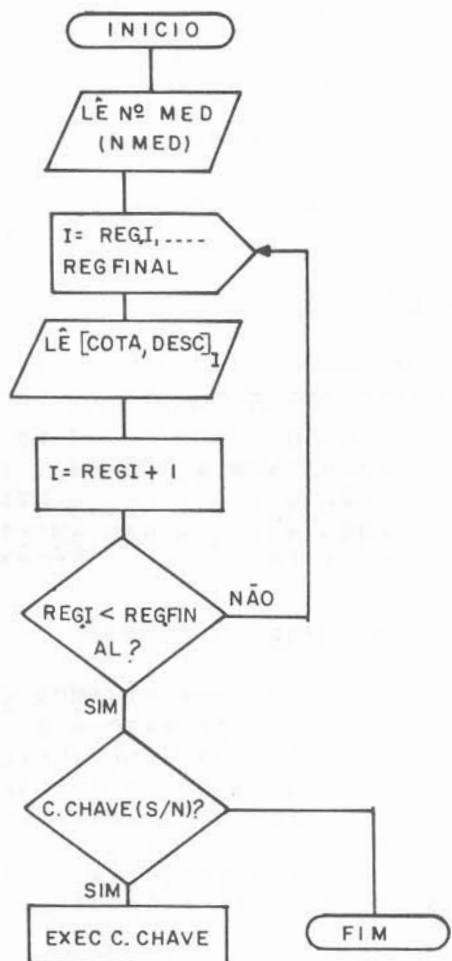
Considerações sobre o Sistema

- 1) Ao se aplicar o método dos mínimos quadrados para a determinação dos parâmetros de regressão \hat{A} e \hat{n} , parte-se do princípio de que os erros residuais têm distribuição Normal (0,1).
- 2) Valores negativos ou nulos de descarga causarão problemas no ajuste da curva, devido as transformações mostradas anteriormente (8.1).
- 3) O limite superior para pesquisa do $h\emptyset^*$, visando determinar R^2_{max} , deverá ser menor ou igual a descarga mínima medida, decrescida do incremento Δh .

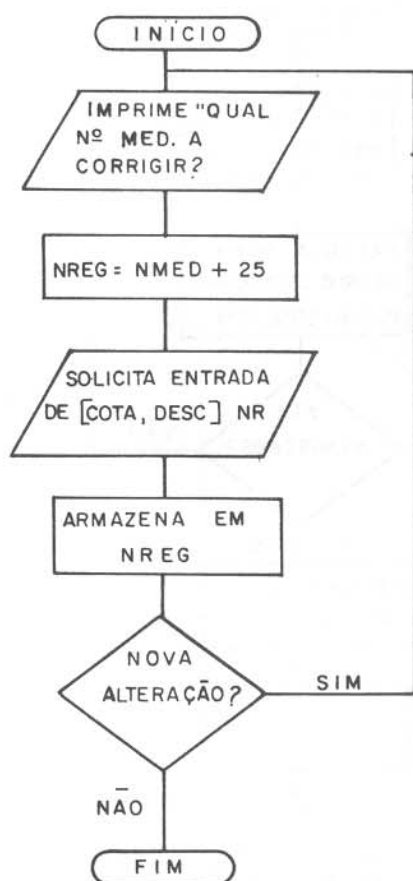
FLUXOGRAMAS, LISTAGENS DOS PROGRAMAS E
MANUAL DO USUÁRIO

Os fluxogramas, as listagens dos programas e o manual do usuário estão contidas nas páginas a seguir.

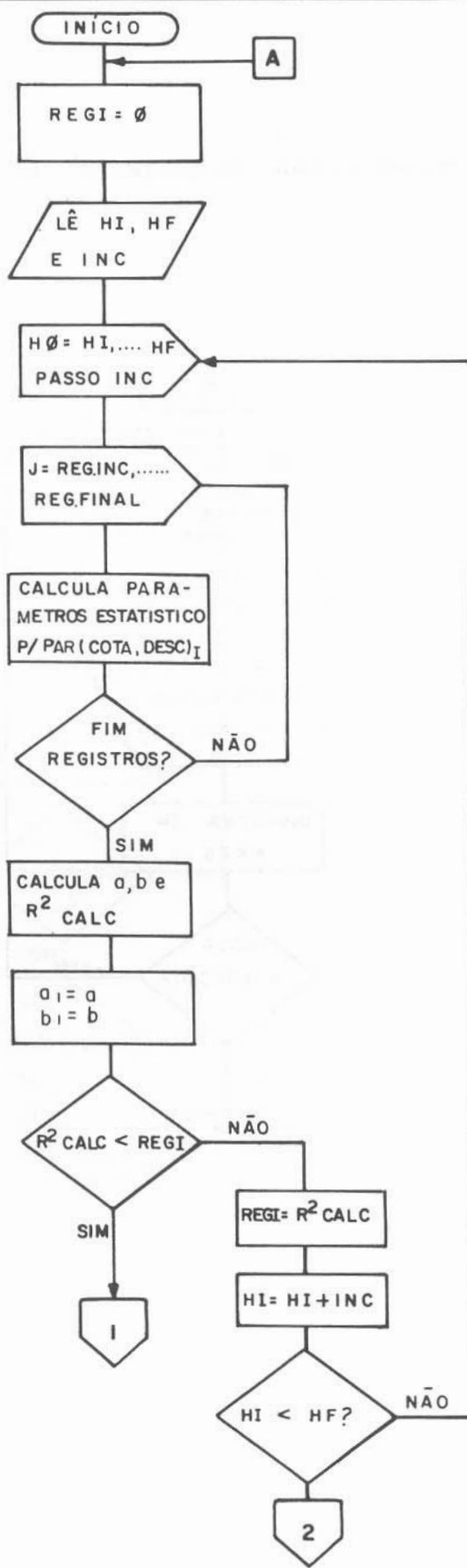
FLUXO I PROGRAMA DE ENTRADA DE DADOS - P0I.I



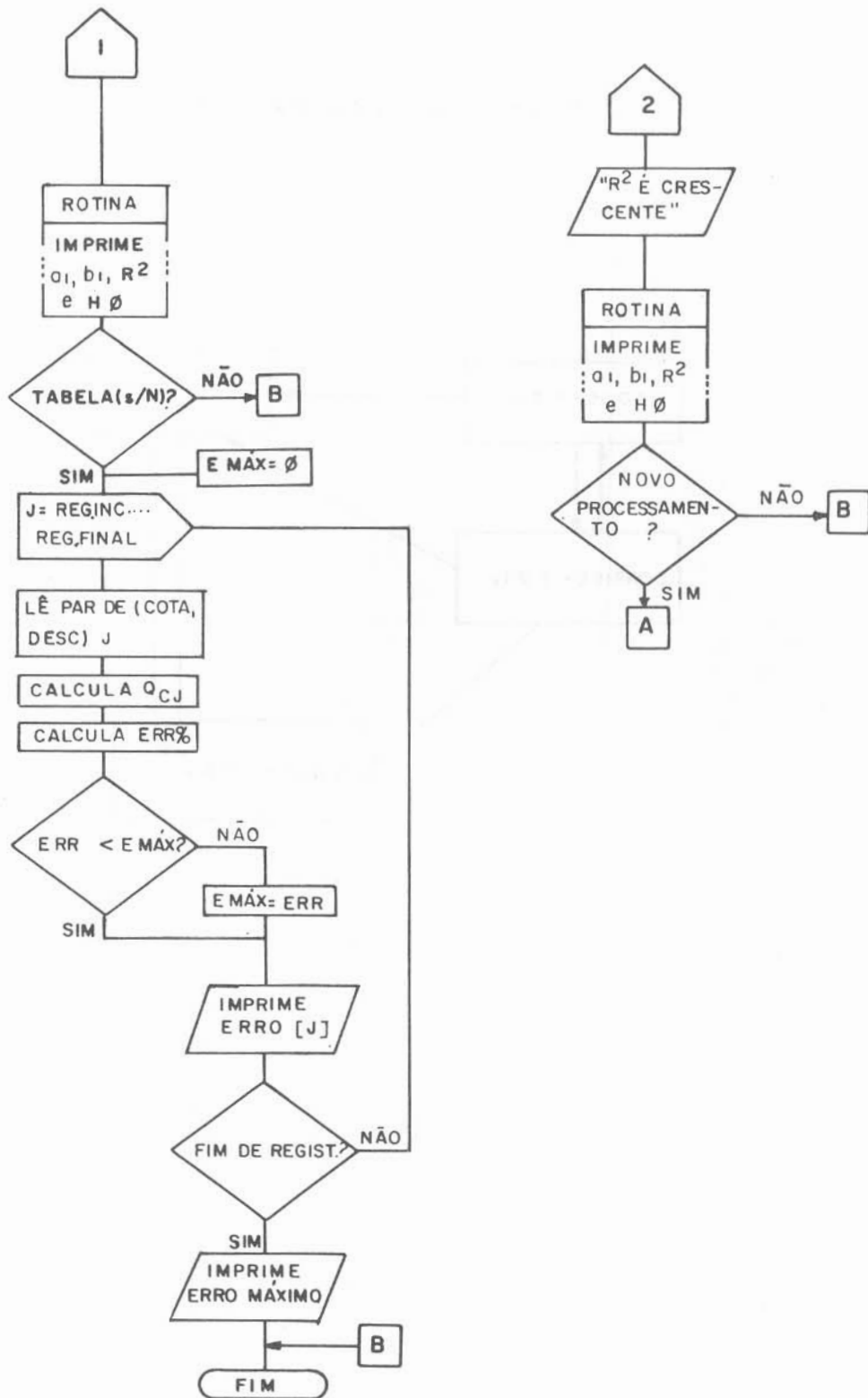
FLUXO II - PROGRAMA DE CORREÇÃO DE DADOS - P@ I.2



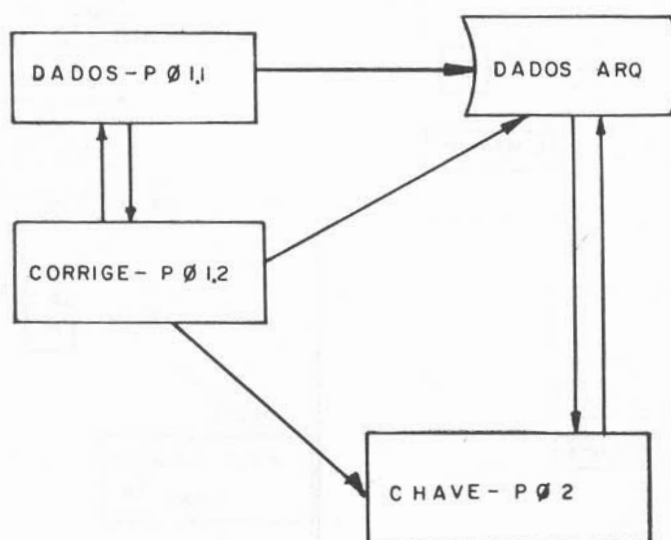
**FLUXO III
PROGRAMA DE
CURVA CHAVE
P 0 2**



PROGRAMA DE CURVA CHAVE - P 02 CONTINUAÇÃO



ESQUEMA DE ENCADEAMENTO



=====	55 FS? 10	42 CLE
PROGRAMA DE ENTRADA	56 GTO "CORR"	43♦LBL 01
DE DADOS	57 "C.CHAVE"	44 RCL 23
=====	58 XEQ "S/N?"	45 STO 16
P-01 * LISTAGEM	59 FS? 10	46♦LBL 08
=====	60 GTO "CHAVE"	47 RCL 16
01♦LBL "DADOS"	61 CLX	48 INT
02 "NMED=?"	62 END	49 STO 17
03 PROMPT	=====	50 RCL IND 17
04 1	=====	51 ENTER↑
05 -	=====	52 INT
06 26	=====	53 STO T
07 +	=====	54 -
08 100	=====	55 1000
09 *	PROGRAMA DA C.CHAVE	56 *
10 1	=====	57 RCL T
11 +	P-02 * LISTAGEM	58 100
12 1 E5	=====	59 /
13 /	=====	60 RCL 24
14 26	01♦LBL "CHAVE"	61 -
15 +	02 0	62 FS? 01
16 STO 23	03 STO 18	63 GTO 08
17 STO 16	04 CF 00	64♦LBL 03
18♦LBL 01	05 CF 01	65 LN
19 CLA	06 CF 02	66 X>Y
20 "C↑0"	07 CF 03	67 LN
21 RCL 16	08 CF 04	68 X<Y
22 INT	09 ΣREG 10	69 Σ+
23 25	10 "H0I=?"	70 ISG 16
24 -	11 PROMPT	71 GTO 00
25 FIX 0	12 X<0?	72 XEQ "FIM"
26 ARCL X	13 SF 00	73 FS? 01
27 "I=?"	14 ABS	74 GTO 01
28 AVIEW	15 1 E5	75 RCL 06
29 FIX 2	16 *	76 STO 19
30 RTN	17 "H0F=?"	77 RCL 05
31♦LBL A	18 PRONPT	78 STO 20
32 XEQ 02	19 STO 21	79 RCL 25
33 ISG 16	20 X<0?	80 STO 18
34 GTO 01	21 SF 02	81 ISG 22
35 "FIM DE DADOS"	22 ABS	82 GTO 05
36 AVIEW	23 100	83♦LBL 07
37 STOP	24 *	84 BEEP
38 GTO 03	25 +	85 "R2 E CRESCENTE"
39♦LBL 02	26 "INC=?"	86 AVIEW
40 1000	27 PROMPT	87 RCL 22
41 /	28 +	88 INT
42 X>Y	29 1 E5	89 100
43 100	30 /	90 /
44 *	31 FS? 00	91 STO 24
45 +	32 CHS	92 SF 04
46 RCL 16	33 STO 22	93 GTO 06
47 INT	34♦LBL 05	94♦LBL 12
48 STO 17	35 RCL 22	95 "NOVO PROCESS"
49 X<Y	36 INT	96 XEQ "S/N?"
50 STO IND 17	37 100	97 FS? 10
51 RTN	38 /	98 GTO "CHAVE"
52♦LBL 03	39 STO 24	99 GTO 11
53 "CORRECAO"	40 FS? 02	100♦LBL 08
54 XEQ "S/N?"	41 XEQ 13	101 X>Y

104 RCL 20	166 RCL 12	228 SF 03
105 Y†X	167 XEQ 09	229 XEQ 08
106 RCL 19	168 RCL 03	230 "TABELA"
107 *	169 /	231 XEQ "S/N?"
108 FIX 2	170 STO 05	232 FC? 10
109 RCL 01	171LBL 03	233 GTO 12
110 FIX 0	172 RCL 04	234 "ERROS(%)"
111 "Qc<"	173 RCL 12	235 SF 01
112 ARCL X	174 *	236 0
113 "†>="	175 RCL 05	237 STO 00
114 FIX 2	176 RCL 14	238 STO 04
115 X<Y	177 *	239 0,99901
116 ARCL X	178 +	240 STO 01
117 "†"	179 RCL 12	241 FS? 04
118 AVIEW	180 X†2	242 GTO 01
119 STOP	181 RCL 15	243 RTN
120 RCL 00	182 /	244LBL 13
121 /	183 STO 09	245 RCL 24
122 1	184 -	246 RCL 21
123 -	185 RCL 13	247 100
124 CHS	186 RCL 09	248 /
125 100	187 -	249 X/Y?
126 *	188 /	250 GTO 07
127 INT	189 STO 25	251 RTN
128 FIX 0	190 RCL 18	252LBL 08
129 "Ee"	191 X/Y?	253 "†="
130 SF 03	192 RTN	254 ARCL X
131 XEQ 08	193 GTO 06	255 FS? 03
132 RCL 04	194LBL 08	256 "‡"
133 X<Y	195 É†X	257 AVIEW
134 X>Y?	196 RTN	258 STOP
135 STO 04	197LBL 09	259 CLA
136 ISG 01	198 *	260 STO 08
137 ISG 16	199 STO 07	261 RTN
138 GTO 00	200 RDH	262LBL 11
139 RCL 04	201 *	263 TONE 9
140 "EMaX"	202 RCL 07	264 "< FIM >"
141 SF 03	203 -	265 AVIEW
142 XEQ 08	204 RTN	266 STOP
143 GTO 12	205LBL 06	267 END
144LBL "FIM"	206 FIX 3	=====
145 8	207 CF 03	ROTINA S/N?
146 STO 00	208 BEEP	=====
147 RCL 15	209 RCL 19	
148 RCL 11	210 "A"	
149 RCL 10	211 XEQ 08	
150 RCL 10	212 RCL 20	
151 XEQ 09	213 "N"	
152 STO 03	214 XEQ 08	
153 RCL 12	215 RCL 22	01LBL "S/N?"
154 RCL 11	216 1000	02 CF 23
155 RCL 10	217 *	03 AON
156 RCL 14	218 FRC	04 "†? S/N"
157 XEQ 09	219 ABS	05 PROMPT
158 RCL 03	220 ST- 24	06 AOFF
159 /	221 RCL 24	07 CF 10
160 STO 04	222 "H0"	08 ASTO X
161 XEQ IND 00	223 XEQ 08	09 "S"
162 STO 06	224 RCL 18	10 ASTO Y
163 RCL 15	225 100	11 X=Y?
164 RCL 14	226 *	12 SF 10
165 RCL 10	227 "R2"	13 END

MANUAL DO USUÁRIO - PROGRAMA DE ENTRADA E CORREÇÃO DE DADOS - PØ1

PASSO	INSTRUÇÕES	ENTRADA	FUNÇÃO	VISOR	OBSERVAÇÕES
Ø 1	DEFINA O ESTADO DE ACORDO COM O NÚMERO DE MEDIÇÕES (#)		XEQ SIZE NNN		
Ø 2	INICIALIZA O PROGRAMA DADOS		XEQ DADOS		
Ø 3	SERÁ SOLICITADO O Nº DE PARES DE hi,Qi A SEREM ARMAZENADOS			NMED = ?	
Ø 4	INTRODUZA O Nº DE MEDIÇÕES	NMED	R/S	H/Qi ?	
Ø 5	REPITA O PASSO Ø5 PARA i=1,2,... NMED INTRODUZA: hi, Qi	hi Qi	ENTER ↴ R/S	H/Qi+1	
Ø 6	QUANDO i = NMED			FIM DE DADOS	
Ø 7	PARA DAR CONTINUIDADE....		R/S	CORRIGE DADOS? (S/N)	
Ø 8	INTRODUZA OPÇÃO OP= S —> VÁ PASSO Ø9 OP= N —> VÁ PASSO Ø12	OP	R/S		
Ø 9	SOLICITA O Nº DA MEDIÇÃO A SER CORRIGIDA	N M	R/S	N M = ?	
Ø 10	INTRODUZA: h NM Q NM	h NM Q NM	ENTER ↴ R/S		
Ø 11	EMITE MENSAGEM PERGUNTANDO SE DESEJA NOVA CORREÇÃO INTRODUZA OPÇÃO OP= S —> VÁ PASSO Ø9 OP= N —> VÁ PASSO Ø12	OP	R/S	NOVA CORREÇÃO (S/N)	
Ø 12	DESEJA CALCULAR CURVA CHAVE? INTRODUZA OPÇÃO OP= S —> VÁ PASSO Ø2 DO PROGRAMA DE C. CHAVE OP= N —> VÁ PASSO Ø13 DESTE PROGRAMA	OP	R/S		
Ø 13				<FIM>	

MANUAL DO USUÁRIO - PROGRAMA DA CURVA- CHAVE - P0 2

PASSO	INSTRUÇÕES	ENTRADA	FUNÇÃO	VISOR	OBSERVAÇÕES
01	INICIALIZAR O PROGRAMA CHAVE		XEQ CHAVE	H _I = ?	
02	SERÁ SOLICITADO O LIMITE INFERIOR, SUPERIOR E O INCREMENTO DO INTERVALO A SER PESQUISADO <u>OBSERVAÇÃO</u> - - O TEMPO DE PROCESSAMENTO SERÁ FUNÇÃO DO NÚMERO DE MEDIDAS (NMED) E DO INTERVALO A SER PESQUISADO, BEM COMO DO INCREMENTO (INC.). DE ACORDO COM OS DADOS PROCESSADOS PODERÃO OCORRER AS SEGUINTE ALTERNATIVAS : 03/a ou 03/b	H _I H _F INC	R/S R/S R/S	H _F = ? INC = ? → →	
03/a	O PROGRAMA DETERMINA OS PARÂMETROS DA REGRESSÃO PARA R ² MAX DENTRO DO INTERVALO [H _I , H _F], PORÉM O MESMO AINDA CONTINUA CRESCENTE. VÁ AO PASSO 4		R/S R/S R/S R/S	R ² CRESCENTE ^ n h _B * R ² MAX TABELA? (S/N)	<BEEP> - SOM AUDÍVEL
03/b	O PROGRAMA DETERMINA OS PARÂMETROS DE REGRESSÃO PARA R ² MAX DENTRO DO INTERVALO [H _I , H _F], COM A RESSALVA DE QUE R ² E O MAX. MAXIMORUM. VÁ AO PASSO 4		R/S R/S R/S R/S	^ n h _B * R ² MAX TABELA? (S/N)	<BEEP> - <BEEP>
04	INTRODUZA OPÇÃO: OP = S → VÁ PASSO 05 OP = N → VÁ PASSO 07	OP	R/S		
05	PARA i = 1, 2, ..., NMED		R/S R/S	Q _i R _{ei}	
06	EMITE VALOR DO ERRO MÁXIMO		R/S	E _{MAX}	
07	PARA DAR CONTINUIDADE....		R/S		
08	PERMITE NOVO PROCESSAMENTO INTRODUZA OPÇÃO OP = S → VÁ PASSO 02 OP = N → VÁ PASSO 09	OP	R/S	NOVO PROCES? (S/N)	
09				<FIM>	

EXEMPLO

A título de exemplo tomamos a Estação Fluviométrica de Fazenda Paraíso, nº 60835000, operada pelo DNAEE - Departamento Nacional de Águas e Energia Elétrica - no Rio Tejuco em Minas Gerais, Bacia do Rio Paranaíba. De posse da relação das medições de descargas do posto supra referido (cópia anexa), foram plotados os pares cota-descarga, pontos estes que definiram claramente a tendência de uma curva de potência.

Para se proceder a entrada dos pares cota-descarga no sistema ora proposto, tomamos o período de 08/07/71 a 08/02/80 (vide listagem das medições de descarga), correspondendo ao intervalo entre as medições de números 98 a 184, tendo sido desprezada a medição de número 181 por apresentar um comportamento diferente em relação aos demais pontos.

O intervalo de pesquisa do h_0 que proporciona o R^2 máximo foi obtido pela extrapolação gráfica do ramo inferior da curva plotada em papel aritmético até cortar o eixo das cotas (gráfico anexo).

Perfazendo um total de 63 dias de medições, obteve-se as seguintes saídas da ROTINA SIMPLIFICADA:

- | | |
|---|-------------------|
| 1) Parâmetros da regressão: | $\hat{A} = 9,440$ |
| | $\hat{n} = 2,164$ |
| 2) Cota teórica de descarga nula: | $h_0^* = 0,33$ |
| 3) Coeficiente de determinação máximo: | $R^2 = 99,595\%$ |
| 4) Tabela de erros percentuais relativos (em anexo) | |
| 5) Erro percentual relativo máximo: | $E_{max} = 12\%$ |

$$\text{*Curva-chave: } Q = 9,440 (h-0,33)^{2,164}$$

A seguir, são apresentados anexos I, II e III com o seguinte conteúdo:

- Anexo I - Listagem das medições de descarga.
- Anexo II - Curva de cotas X descarga
- Anexo III - Tabela de cotas e descargas medidas, descargas calculadas e erros percentuais relativos.

MINISTÉRIO DAS MINAS E ENERGIA
DEPARTAMENTO NACIONAL DE ÁGUAS E ENERGIA ELÉTRICA
14/05/86
CCPASA -- DVIE/SCCH

**** RELAÇÃO DAS MEDIDAS DE DESCARGA ****

ESTAÇÃO 60835000

DATA DA MEDIDA (D/M/A)	ENTIDADE MEDIDORA	NÚMERO DA MEDIDA	CGTA MÉDIA (CM)	DESCARGA TOTAL (M ³ /S)
06/11/69	01	093	169	18.165
09/12/69	01	094	185	23.645
09/12/69	01	095	185	22.666
17/11/70	01	096	160	15.007
17/11/70	01	097	160	14.868
08/07/71	82	098	101	3.970
11/08/71	82	099	99	3.530
11/08/71	82	100	99	3.580
14/09/71	82	101	126	7.960
14/09/71	82	102	125	7.610
16/10/71	82	103	175	22.700
16/10/71	82	104	178	21.800
17/11/71	82	105	111	6.110
17/11/71	82	106	111	6.250
12/01/72	82	107	168	17.000
12/01/72	82	108	167	17.000
16/03/72	82	109	282	66.900
16/03/72	82	110	283	69.200
13/04/72	82	111	229	39.200
13/04/72	82	112	226	41.100
29/05/72	82	113	158	14.800
29/05/72	82	114	158	15.400
14/06/72	82	115	136	10.000
14/06/72	82	116	136	9.760
18/07/72	82	117	144	13.500
18/07/72	82	118	144	13.600
19/09/72	82	119	113	5.600
19/09/72	82	120	113	5.550
04/11/72	82	121	237	41.300
04/11/72	82	122	237	43.000
14/01/73	82	123	199	27.800
14/01/73	82	124	201	27.300
12/03/73	82	125	244	46.900
12/03/73	82	126	244	48.100
28/04/73	82	127	202	29.400
28/04/73	82	128	202	29.100
16/06/73	82	129	169	17.700
16/06/73	82	130	169	18.400
28/08/73	82	131	136	10.400
28/08/73	82	132	136	9.490
21/09/73	82	133	126	8.230
21/09/73	82	134	126	7.490
26/01/74	82	135	215	32.400
26/01/74	82	136	214	32.500
19/02/74	82	137	202	29.700
19/02/74	82	138	202	27.600

ENTIDADE 01

AREA TOTAL (M ²)	LARGURA TOTAL (M)	PROFI NDIDADE MEDIA (M)	VEL OCIDADE MEDIA (M/S)	SIT
22.16	18.90	1.17	0.820	1
25.47	19.40	1.31	0.928	1
24.78	19.30	1.28	0.915	1
19.67	16.90	1.18	0.763	1
19.79	17.30	1.14	0.751	1
23.95	24.60	0.97	0.165	1
23.46	24.70	0.94	0.150	1
24.61	24.70	0.99	0.145	1
27.19	28.00	0.97	0.292	1
27.88	28.00	0.99	0.272	1
29.08	31.12	0.93	0.779	1
29.32	31.12	0.94	0.744	1
14.55	29.19	0.49	0.419	1
14.75	29.19	0.50	0.423	1
22.34	18.06	1.23	0.761	1
21.77	18.06	1.20	0.782	1
45.29	21.94	2.06	1.476	1
45.82	21.94	2.08	1.509	1
32.69	20.80	1.57	1.199	1
34.93	21.70	1.60	1.177	1
20.20	17.34	1.16	0.730	1
20.18	17.34	1.16	0.761	1
16.70	15.85	1.05	0.600	1
17.01	15.85	1.07	0.573	1
18.18	16.70	1.08	0.744	1
18.13	16.70	1.08	0.749	1
13.17	15.36	0.85	0.424	1
13.38	15.38	0.87	0.415	1
33.00	21.29	1.55	1.252	1
34.37	21.29	1.61	1.251	1
25.67	19.40	1.32	1.081	1
26.37	19.40	1.35	1.034	1
35.35	20.90	1.69	1.327	1
35.61	20.90	1.70	1.351	1
26.68	19.70	1.35	1.103	1
26.68	19.70	1.35	1.089	1
20.78	18.13	1.14	0.849	1
22.73	18.13	1.25	0.807	1
16.45	16.15	1.01	0.631	1
16.13	16.15	0.99	0.588	1
15.21	15.75	0.96	0.540	1
14.84	15.75	0.94	0.504	1
31.39	20.62	1.52	1.031	1
30.30	20.62	1.46	1.073	1
28.50	19.70	1.44	1.044	1
28.61	19.70	1.45	0.963	1

MINISTÉRIO DAS MINAS E ENERGIA

DEPARTAMENTO NACIONAL DE ÁGUAS E ENERGIA ELÉTRICA

14/05/86

CCFASA -- CVHE/SCCH

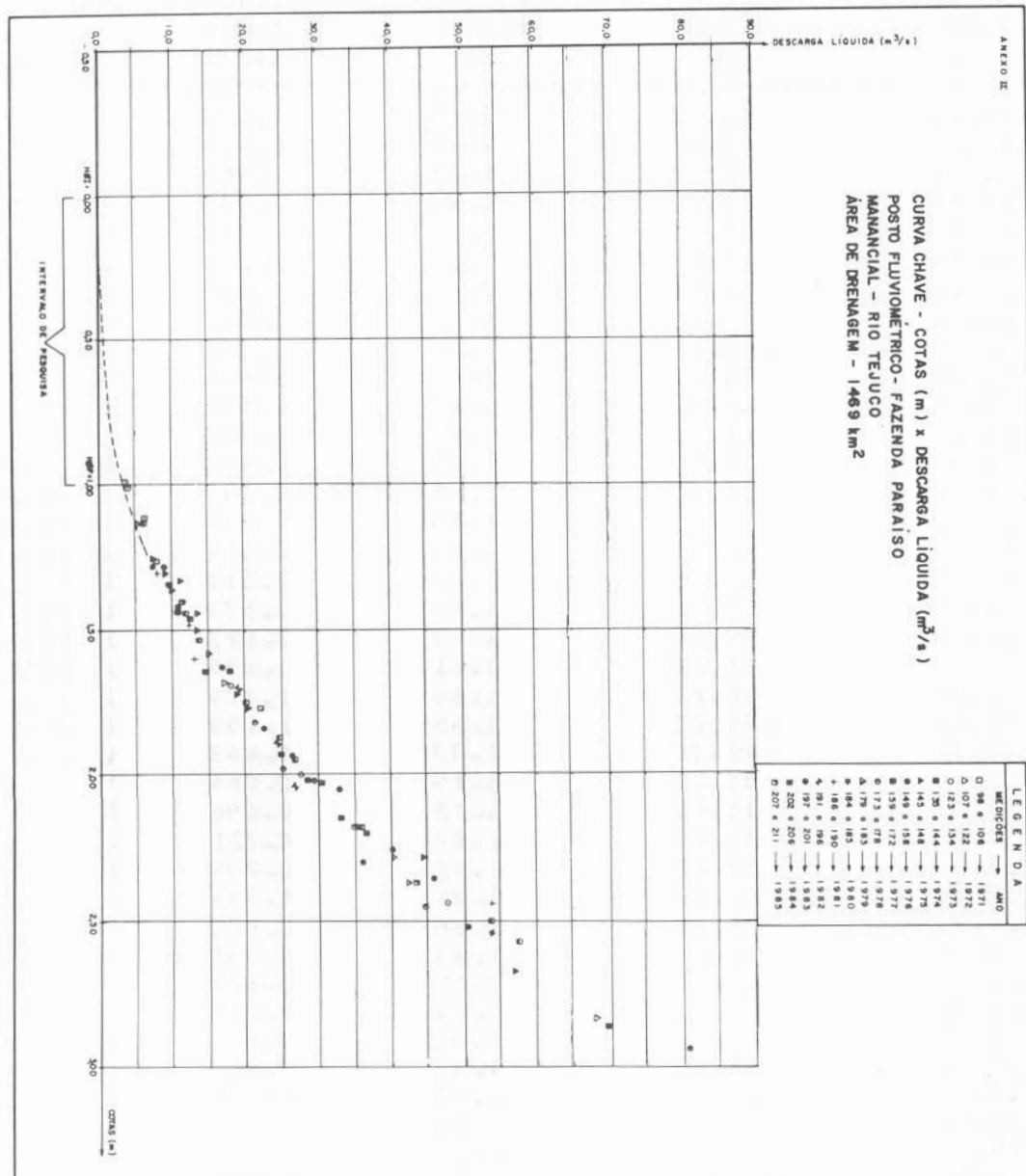
**** RELAÇÃO DAS MEDIDAS DE DESCARGA ****

ESTAÇÃO 60835000

DATA DA MEDIDA (C/M/A)	ENTIDADE MEDIDORA	NÚMERO DA MEDIDA	COTA MÉDIA (CM)	DESCARGA TOTAL (M ³ /S)
26/03/74	82	139	286	68.500
26/03/74	82	140	286	70.400
23/04/74	82	141	193	25.000
23/04/74	82	142	193	24.500
19/06/74	82	143	161	15.555
19/06/74	82	144	167	16.300
24/09/74	82	145	125	7.670
21/10/74	82	146	130	9.010
08/12/74	82	147	228	44.300
23/12/74	82	148	267	56.700
22/01/75	82	149	235	45.600
10/02/75	82	150	235	45.900
18/02/75	82	151	194	26.600
10/03/75	82	152	163	16.800
12/05/75	82	153	163	16.500
06/06/75	82	154	142	11.100
11/08/75	82	155	125	7.968
11/11/75	82	156	134	9.540
06/12/75	82	157	205	32.783
16/12/75	82	158	226	39.700
12/01/76	82	159	225	40.634
18/02/76	82	160	218	35.804
24/03/76	82	161	257	57.260
24/04/76	82	162	169	18.564
20/06/76	82	163	143	12.089
23/08/76	82	164	148	12.812
26/10/76	82	165	153	13.526
28/12/76	82	166	250	53.582
15/02/77	82	167	175	19.999
22/04/77	82	168	187	24.680
16/06/77	82	169	144	11.842
19/08/77	82	170	112	5.734
21/10/77	82	171	113	6.202
14/12/77	82	172	195	26.773
16/02/78	82	173	202	28.169
17/04/78	82	174	182	21.479
15/06/78	82	175	158	15.392
12/08/78	82	176	128	9.053
20/10/78	82	177	198	25.129
12/12/78	82	178	245	44.518
13/04/79	82	179	177	20.151
14/06/79	82	180	150	13.451
10/08/79	82	181	133	11.442
13/10/79	82	182	143	12.046
14/12/79	82	183	172	18.836
08/02/80	82	184	254	53.488

ENTIDADE 82

AREA TOTAL (M ²)	LARGURA TOTAL (M)	PROFUNDIDADE MEDIA (M)	VELOCIDADE MEDIA (M/S)	SIT
44.96	23.00	1.95	1.523	1
46.45	23.00	2.01	1.516	1
26.10	19.10	1.36	0.960	1
26.53	19.10	1.38	0.924	1
20.74	17.00	1.22	0.750	1
20.84	17.00	1.22	0.783	1
15.12	15.75	0.96	0.507	1
16.47	15.83	1.04	0.547	1
32.98	21.20	1.55	1.342	1
40.20	21.20	1.90	1.411	1
34.96	21.40	1.63	1.305	1
34.92	21.30	1.63	1.313	1
26.70	19.50	1.36	0.994	1
21.02	17.10	1.22	0.797	1
20.50	17.10	1.19	0.803	1
18.04	16.50	1.09	0.615	1
15.51	15.10	1.02	0.513	1
16.45	16.30	1.00	0.579	1
29.17	19.80	1.47	1.123	1
32.05	21.20	1.51	1.238	1
31.76	20.60	1.54	1.279	1
30.88	21.20	1.45	1.159	1
39.12	22.10	1.77	1.463	1
21.48	18.00	1.19	0.864	1
17.35	16.00	1.08	0.696	1
17.76	16.40	1.08	0.721	1
19.06	17.00	1.12	0.709	1
39.55	21.80	1.81	1.354	1
24.83	18.20	1.36	0.805	1
25.66	19.00	1.35	0.961	1
17.51	15.50	1.10	0.676	1
12.72	15.00	0.84	0.450	1
13.11	14.90	0.88	0.472	1
28.26	18.90	1.49	0.947	1
27.57	20.00	1.37	1.021	1
23.00	18.50	1.24	0.933	1
19.78	16.50	1.19	0.778	1
15.82	15.70	1.00	0.572	1
27.83	19.00	1.46	0.902	1
36.05	20.60	1.75	1.234	1
22.80	18.00	1.26	0.883	1
19.63	16.50	1.18	0.685	1
17.75	16.00	1.10	0.644	1
17.99	16.00	1.12	0.669	1
22.55	18.50	1.21	0.835	1
38.46	21.00	1.83	1.390	1



ANEXO III

COPASA MG

ESTUDO HIDROLÓGICO - DETERMINAÇÃO DA CURVA CHAVE

PÁG.

1 / 2

NOME DO RIO			NOME DO POSTO			ÁREA DRENAGEM (Km ²) - H ₀			
RIO TEJUCO			FAZENDA PARAISO			1.469 0,33			
Nº MED.	H	Q. REAL	Q. CALC.	ERRO	Nº MED.	H	Q. REAL	Q. CALC.	ERRO
98	1,01	3,97	4,10	-3%	145	1,25	7,67	7,88	-2%
99/100	0,99	3,55	3,84	-8%	146	1,30	9,01	8,84	1%
101/2	1,26	7,79	8,07	-3%	147	2,28	44,30	40,06	9%
103/4	1,77	22,25	20,78	6%	148	2,67	56,70	59,44	-4%
105/6	1,11	6,18	5,51	10%	149	2,35	45,60	43,24	5%
107/8	1,68	17,00	18,07	-6%	150	2,35	45,90	43,24	5%
109/10	2,83	68,05	68,59	0%	151	1,94	26,60	26,46	0%
111/12	2,28	40,15	40,06	0%	152	1,63	16,80	16,66	0%
113/14	1,58	15,10	15,30	-1%	153	1,63	16,50	16,66	0%
115/16	1,36	9,88	10,06	-1%	154	1,42	11,10	11,38	2%
117/18	1,44	13,55	11,83	12%	155	1,25	7,97	7,88	1%
119/20	1,13	5,58	5,82	-4%	156	1,34	9,54	9,65	-1%
121/22	2,37	42,15	44,17	-4%	157	2,05	32,78	30,53	6%
123/24	2,00	27,55	28,64	-3%	158	2,26	39,70	39,17	1%
125/26	2,44	47,50	47,51	0%	159	2,25	40,63	38,74	4%
127/28	2,02	29,25	29,39	0%	160	2,18	35,80	35,74	0%
129/30	1,69	18,05	18,36	-1%	161	2,57	57,26	54,08	5%
131/32	1,36	9,95	10,06	-1%	162	1,69	18,56	18,36	1%
133/34	1,26	7,86	8,07	-2%	163	1,43	12,09	11,60	4%
135/36	2,15	32,45	34,50	-6%	164	1,48	12,81	12,77	0%
137/38	2,02	28,65	29,39	-2%	165	1,53	13,53	14,01	-3%
139/40	2,86	69,45	70,38	-1%	166	2,50	53,58	50,49	5%
141/42	1,93	24,75	26,11	-5%	167	1,75	20,00	20,16	0%
143/44	1,64	15,93	16,93	-6%	168	1,87	24,68	24,03	2%

LEGENDA : CAMPO H₀ = COTA DE DESCARGA NULA EM METROS

AGRADECIMENTOS

Ao Engº Paulo Melo FREITAS Jr. e a Eng^a Soraya Ivania de CASTILHO, pelas revisões e sugestões apresentadas visando a otimização da rotina, bem como pelo incentivo à publicação.

Ao Engº Antônio Tarcisio de LAS CASAS pela oportunidade de desenvolvimento do trabalho na Divisão de Hidrologia da Companhia de Saneamento de Minas Gerais.

Ao 5º Distrito do Departamento Nacional de Águas e Energia Elétrica, em especial à Eng^a Maura Menin Teixeira de SOUZA, pela gentileza que sempre nos tem dispensado no fornecimento de subsídios para nossos trabalhos em hidrologia.

BIBLIOGRAFIA

FREITAS, P. M. Jr., 1974 - Determinação da Curva-chave e sua aplicação à estimativa de vazões de enchentes - Instituto de Engenharia Sanitária da E.E.U.F.M.G., 40p.

Gerenciamento da Bacia Hidrográfica - Reservatórios Serra Azul - 2º Relatório, Set/84, COPASA MG.

HEWLETT PACKARD, 1979 - Manual de Aplicações HP-41C, pg. 47 a 54.

NAVARRO, F.C., 1984 - Programação Avançada na HP-41 - Pro-Pesquisa, 1ª Edição, pg. 24 a 26.

SEREBRENICK, R., 1964 - Guia do Traçado de uma Curva-Chave, DNAEE - RJ.

SILVEIRA, R.L., 1975 - Notas de Aula, IPH-UFRS.

UNESCO, 1982 - Methods of Computation of low Steamflow, Paris , pg. 29 e 30.

4º CONGRESSO BRASILEIRO DE ÁGUAS SUBTERRÂNEAS

"Regulamentação de Uso e Preservação das Águas Subterrâneas" é o tema do 4º Congresso de nossa Associação a ser realizado no período de 4 a 7 de novembro próximo, no Centro de Convenções de Brasília.

Dezenas de trabalhos já foram inscritos e aprovados para apresentação. Também está confirmada a programação dos dias 5, 6 e 7 com a participação de conferencistas internacionais e brasileiros que abordarão temas atuais, dentro da sistemática proposta.

Paralelo ao Congresso, será realizada uma Exposição Técnica dedicada às empresas de perfuração, fabricantes de equipamentos e entidades públicas que atuam no setor.